

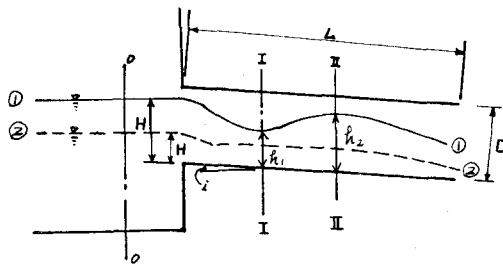
円形断面水路の自由流出について(オノ報)

日本大学理工学部 正員 栗津清蔵
” ” 〇並藤 兼

§1. まことさ

図-1の円形断面水路の逆流はHの大小により3つに分類され、オノ報では理論的に、オノ報では水路全體が管路となる場合を、オノ報では水路に雨水路と管路が共存する場合を理論と実験を基にして論じた。本報では水路全體が雨水路となる場合について、特にその水面形について論じる。

図-1



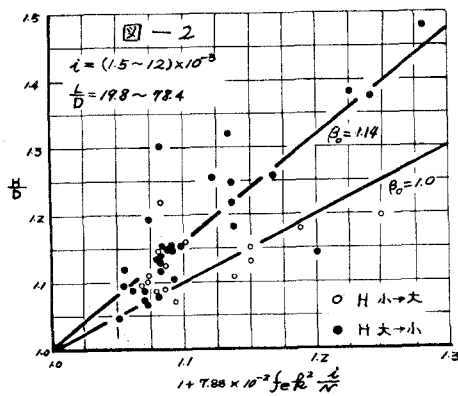
§2. 水路全體が雨水路となる限界について
理論的には雨水路部の長さが水路の長さに等しいと置いて、オノ報(9)式が導出された。

$$\frac{H}{D} = \beta_0 \left(1 + 7.88 \times 10^{-2} f_e k^2 \frac{\lambda}{N} \right) \quad (1)$$

上式の係数等について、実験値を用いて図-2を得た。相当ばらついているが、それは完全には雨水路部の長さが水路の長さに等しい(すなはち流入口から雨水路となる)現象を実験において実現するのが困難なためである。

理由としては、水槽内の水深が限界になる水深に近づくと水面に一つまたは二つの不安定な渦が発生し、その渦のために流入口附近の水面が動搖し、すなはち限界になると現象を分めなければならないためである。そこで、我々の行った実験ではHをだんだん小さくして行ってければ所定の現象になら、たと思われるHと、逆にHをだんだん大きくして行って

所定の現象になら、たと思われるHの両方を図-2にプロットしたためと思われる。
なお、 β_0 の平均値は1.14であった。



§3. 水面形が波状を呈する場合の水面形について

$H/D > 0.8$ で水路こう配が $< 4.5 \times 10^{-3}$ 程度の場合には水面形状は図-1の①~②のような形狀になる。

(i) 最小水深を、Kについて

○断面に運動量方程式を適用する。

○断面は流入口の影響がないと見なされる断面である。各断面の水圧は静水圧分布しているものとし、また流入口断面の水深をHとし圧力分布は静水圧分布しているとし、○断面の平均流速 $v_{\bar{m}}$ 、○、水路こう配による断面内の水の重量の流れ方向の分力は無視し、運動量補正係数を1とする。

$$\frac{Q^2}{2D^5} = \frac{M_1}{3z} \cdot (K_0 - K_1) \quad (2)$$

$$z = z_i, M = \alpha - \sin \alpha \cdot \cos \alpha$$

$$K = \frac{2}{3} \cdot \frac{\sin^3 \alpha}{\alpha - \sin \alpha \cdot \cos \alpha}$$

$$\alpha = \text{水面中 K} \text{に対する中心角の } \frac{1}{2}$$

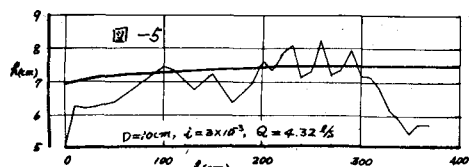
種々の仮定を補正する意味で次のように置く。

$$\frac{Q^2}{gD^5} = P \left\{ \frac{M_1}{32} \cdot (K_0 - K_1) \right\} \quad (2')$$

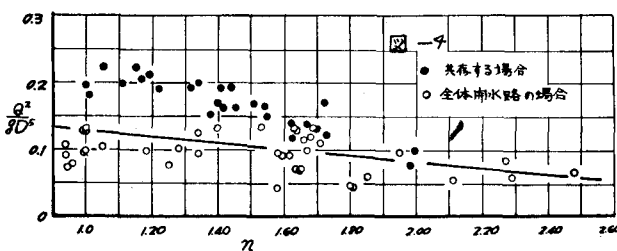
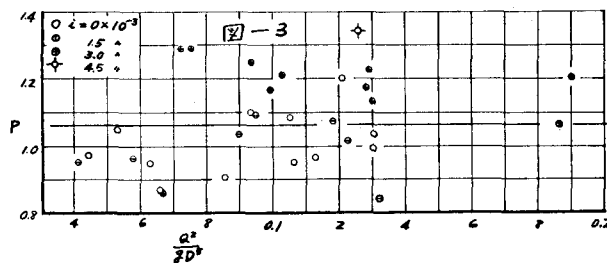
ただし、 $H > D$ の場合は $K_0 = \pi \left(\frac{2H}{D} - 1 \right)$

この P に対して、実験値より図-3を得た。

これより P は多少にも関係しているようでは



(iii) 水面追跡について



あるが明瞭ではなく、ほぼ $P = 1.06$ と取ってよいようである。

(ii) 最大水深 h_2 について

I ~ II 断面間に前項と同じ様な仮定のもとに運動量方程式を適用すると、少々複雑な(4')式を得る。

$$\frac{h_2}{h_1} = n \left\{ 1.13 \left(\frac{h_1}{D} \right)^{1.78} \cdot \left(\frac{Q^2}{gD^5} \right)^{0.468} \right\} \quad (3)$$

この式に対しては、図-4' が得られる。共存する場合のように明瞭な関係が得られないのは、 $h_1 \sim h_2$ 間の距離が長めのことと、 h_1 は割合は大きいしているが、 h_2 の測定が正確に行なえなかつたためであろう。強いて式化すると、

$$n = -24 \left(\frac{Q^2}{gD^5} \right) + 4 \quad (4)$$

流出口の水深 h_{end} を限界水深 h_c として、A1報(6)式を利用して水頭追跡した一例が図-5、6である。太い実線がそれと、細い実線が実測水頭形である。雨水路と管路が共存する場合の不等流部の長さは計算上 $h_{end} = (0.97 \sim 0.98) D$ にすればほぼ実験結果と一致した。

(iv) 水面形が波状を呈さない場合の水面形について (図-1, 2~2)

前節と同様に計算した一例が図-7である。この場合には矩形水路の場合と同様に $h_{end} = h_c$ として計算して、流出の断面を除けば有効な水頭追跡法である。

